

CFRP摩擦熱接合用工具の開発

Development of friction heating tool for CFRP joining

正 加藤 明 (鳥取県産業技術センター)

Akira KATO, Tottori Institute of Industrial Technology, 1247 Kusaka, Yonago, Tottori, 689-3522 Japan

Key Words: Joining, Friction heat, CFRP, Heating tool

1. 諸言

航空機、自動車・医療機器産業などでは、軽量・高強度で、電磁性能・制振性能が良好な特性を持つCFRP (Carbon Fiber Reinforced Plastic : 炭素繊維強化プラスチック)の利用が増加しており、中小部品加工企業がこれらの製品の受注を増加させるためには、CFRP加工技術の高度化が必要である。

一般的にCFRP製の部品は型により成形されるが、形状が大型の場合や複雑な場合は、CFRP部材の接合が必要になる。従来、CFRP部材の接合はリベット・ボルトなどの機械的接合や接着剤による化学的接合が行われているが、機械的接合では接合用に穴加工が必要で機械的強度が低下することや締結用部品が必要な課題が、接着では溶剤が必要なこと、接着剤接着性発現までの時間が必要で工程時間が延びること、接着剤のコストが高いことなどの課題がある。一方、接合技術の中には、工具を回転させて材料に押し付け、摩擦熱を発生させることで材料を溶融させて接合する方法(摩擦圧接)があり、CFRP部材の接合についても研究が行われている。しかしながら、摩擦圧接は金属の接合を主眼とした研究が多く、CFRP部材の接合については十分に検討されていない。そこで、素材及び形状を変えた摩擦熱接合用工具を試作して摩擦熱発生実験を行い、CFRP部材摩擦熱接合に適する工具の条件について検討した。

2. 被接合材料

被接合材料は、熱可塑性CFRP(CFRTP)である。この材料の諸元を表1に示す。従来のCFRPは熱硬化性CFRP(CFRTS)が主流であったが、CFRTPはCFRTSに比べて射出成型性やプレス成型性に優れることからCFRPの大変な課題である製造加工コストを低減することができる。さらにCFRTSでは廃材のリサイクルが困難であるが、CFRTPはリサイクル性も高い⁽¹⁾。これらのことから、CFRTPの利用が進むと考えられる。接合においてもCFRTPではマトリックス樹脂である熱可塑性樹脂の特性を利用した加熱溶融による接合が可能である。

3. 摩擦熱発生実験

接合用工具を回転させながら表1のCFRTP板に表2の条件で垂直に押し付けることで摩擦熱発生実験を行った。このとき、工具及びCFRTP板の温度を熱画像計測装置(フリアシステムズ A655sc)で測定した。図1は工具No.6(円筒形状の構造用鋼)による摩擦熱発生実験中の熱画像である。この図より、工具とCFRTP板の接触部で局所的に温度が上昇することが分かった。また、CFRTP板においては接触部近傍で熱伝導による昇温が見受けられるが、範囲は限定的であることが分かった。

摩擦熱接合用工具は、素材、寸法、形状について検討を行った。まず、素材については表3に示す8種の工具を試作し、

摩擦熱発生実験を行った。図2に工具No.6による摩擦熱発生実験における工具押し付け時間と温度の関係を示す。この図より、工具の押し付け時間に伴い接触部分の温度が上昇していることが分かる。工具No.6では、120°C付近までなだらかに温度が上昇し、その後は温度上昇勾配が緩やかになっている。押し付け時間120秒で工具とCFRTP板が離れるが、このとき温度が大きく上昇し約158°Cの最高温度を計測した。このことは、押し付けによりCFRTP板に侵入していた工具先端が工具上昇に伴い測定画面に現れたためと考えられ、実際のCFRTP板と工具の接触部分は、測定値よりも高い温度となっていると推測する。

図3は、工具素材別の摩擦熱最高温度である。ニッケル基合金(No.1)、高速度工具鋼(No.4)、ステンレス(No.5)は180°C程度まで温度上昇する一方で、チタン合金(No.2)、超硬(No.3)、構造用鋼(No.6)、銅合金(No.7)は150°C程度まで、アルミニウム合金(No.8)は100°C程度までしか温度が上昇しなかった。図4は、工具素材別の摩擦熱による100°C到達時間である。この図より、ニッケル基合金が特に速く温度が上昇することが分かる。これらのことから、摩擦熱による温度上昇時間が短く最高温度が高いニッケル基合金が、CFRTP摩擦熱接合用工具素材として適すると見える。また、工具材料の性質を考慮すると、摩擦熱による温度上昇には工具材料の熱伝導率や硬度が影響していると考える。

図5は、工具寸法・形状別の摩擦熱最高温度である。また、図6は、工具寸法・形状別の摩擦熱100°C到達時間である。図5のNo.11からNo.16の結果から、工具先端部の直径が大きいほど、摩擦熱最高温度が高いことが分かる。この原因については、接する面積が大きいことや直径が大きいほど外周速が速いことによると考えられる。一方で、図6において、No.11から13では顕著な違いは見られない。このことから、昇温の温度勾配には押し付け圧など工具先端部直径以外にも要因があると考えられる。

工具先端形状に着目すると、先端部が球状のNo.21は、温度が十分に上昇しなかったが、これは接する面積が極めて小さいためと考える。工具先端の面積が等しいNo.22、No.23とNo.16、No.14を比較すると、最高温度については先端部にR面取りのあるNo.22、No.23の方が高温となった。この理由は、押し付けにより底面だけでなくR面取り部でも樹脂と工具が接触し、摩擦熱が発生しているためと考える。一方で、No.23の100°C到達時間はNo.14に比べ著しく遅くなった。この理由は、摩擦により熱せられた樹脂が工具R部により表面に流出しづらくなつたためと推測する。また、工具先端形状の差異による摩擦温度の違いは、工具先端面積による差異によるものに比べ、小さいことが分かった。これらのことから、摩擦熱による温度を高めるには先端面積が大きい工具が適すると見える。

4. 結言

工具を試作し、摩擦熱発生実験を通じて、熱可塑性炭素繊維強化プラスチックの摩擦熱接合に適する工具の条件について検討した。その結果、以下のことが分かった。

- CFRTTPと工具間の摩擦熱発生には、工具材質としてニッケル基合金が優れる。
- 工具先端の面積が大きいほど、温度が良く上昇する。
- 工具先端形状よりも工具先端面積の方が、温度上昇に大きく影響する。

(文献省略)

Table 1 Specification and mechanical property of CFRTTP

Weight of Carbon Fiber	200 g/mm ²
Matrix	Polyamide 6
Layers	20
Thickness	4 mm
Size	400 x 300 mm
Ratio of Carbon Fiber	53 Vol.%
Specific gravity	1.5
Flexural strength	750 MPa
Flexural modulus	53 GPa

Table 2 Experimental conditions

Joining device	NC milling machine (OHTORI KIKO ON-3VII)
Rotational speed	637 min ⁻¹
Pressing speed	0.1 mm/min
Pressing time	2 min
Overhang	30 mm

Table 3 Experimental heating tool (1)

No.	Material	Form
1	ALLOY718	Cylinder φ10*60 mm
2	TAB 6400 H	
3	Cemented carbide	
4	SKH56	
5	SUS304	
6	SS400	
7	C3604	
8	A5052	

Table 4 Experimental heating tool (2)

No.	Material	Form	Tip	Shank
11	SS400	Step cylinder	φ20*10 mm	φ10*50 mm
12			φ16*10 mm	
13			φ12*10 mm	
14			φ8*10 mm	
15			φ6*10 mm	
16			φ4*10 mm	

Table 5 Experimental heating tool (3)

No.	Material	Form	Tip	Shank
21	SS400	Radius cylinder	R5 mm (Ball)	φ10*55 mm
22			φ4 mm (R3 chamfer)	φ10*57 mm
23			φ8 mm (R1 chamfer)	φ10*59 mm

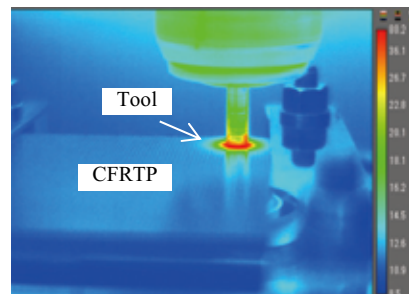


Fig. 1 Thermal image of friction heating experiment (heating tool:No.6)

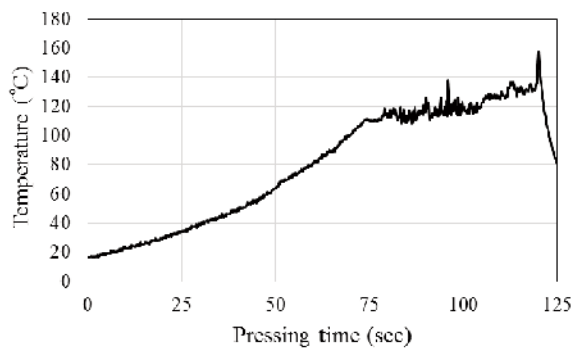


Fig. 2 Relationship between temperature and pressing time (heating tool:No.6)

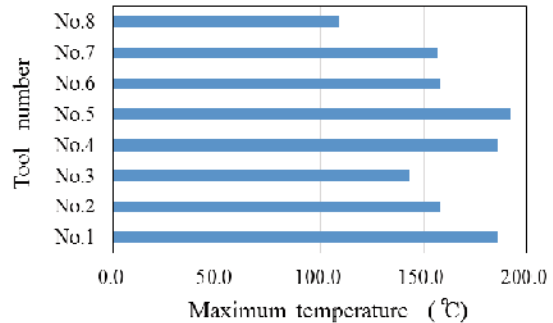


Fig. 3 Maximum temperature on friction heating (material distinction)

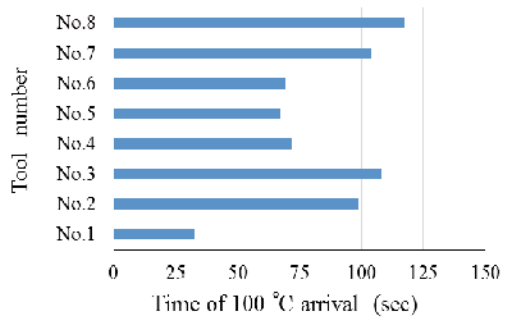


Fig. 4 Time of 100 °C arrival on friction heating (material distinction)

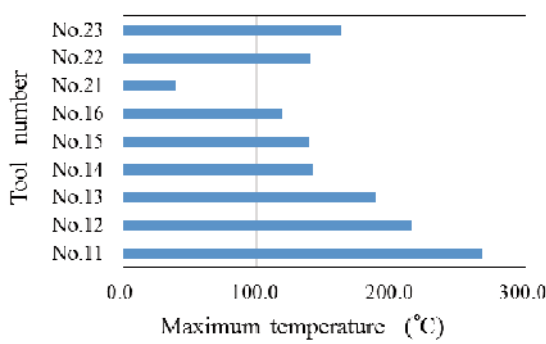


Fig. 5 Maximum temperature on friction heating
(size and shape distinction)

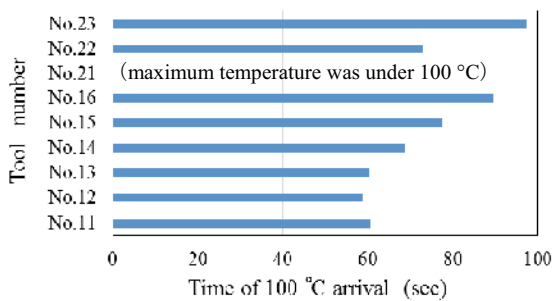


Fig. 6 Time of 100 °C arrival on friction heating
(size and shape distinction)